

Le modèle à 6-Vertex généralisé et des polynômes de Macdonald

Tiago Fonseca

LAPTh, CNRS, Annecy

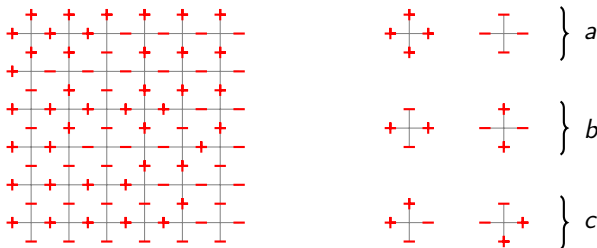
2 mai 2013

Travail réalisé en collaboration avec Ferenc Balogh

Table des matières

- 1 Le modèle à 6-Vertex
 - Définition
 - Intégrabilité
 - Point combinatoire
- 2 Généralisation à plus haut spin
 - Définition et intégrabilité
 - La fonction de partition
- 3 Polynômes de Macdonald
 - La condition de roue
 - Polynômes de Macdonald
 - Résultat principal

Définition du modèle à 6-Vertex

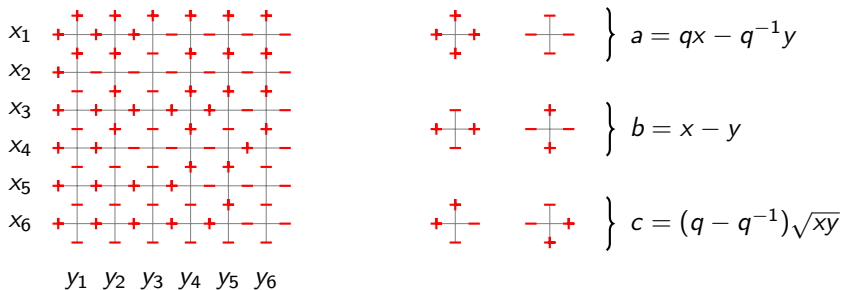


Définition (Fonction de partition)

On définit la fonction de partition comme d'habitude :

$$\mathcal{Z}_n \propto \sum_{\text{configurations}} \prod_{i,j} \omega_{i,j}$$

Définition du modèle à 6-Vertex



Définition (Fonction de partition)

On définit la fonction de partition comme d'habitude :

$$Z_n(\mathbf{x}, \mathbf{y}) \propto \sum_{\text{configurations}} \prod_{i,j} \omega_{i,j}(x_i, y_j)$$

Définition du modèle à 6-Vertex

$$\begin{array}{cccccc}
 1 & 0 & 0 & 1 & 0 & 0 & 0 \\
 1 & 1 & 0 & 0 & 0 & 0 & 0 \\
 1 & 0 & 0 & 0 & 0 & 1 & 0 \\
 1 & 0 & 1 & 0 & 0 & -1 & 1 \\
 1 & 0 & 0 & 0 & 1 & 0 & 0 \\
 1 & 0 & 0 & 0 & 0 & 1 & 0 \\
 & q & q & q & q & q & q
 \end{array}
 \quad
 \left.
 \begin{array}{cc}
 \begin{array}{c} + \\ 0 \\ + \end{array} & \begin{array}{c} - \\ 0 \\ - \end{array} \\
 \begin{array}{c} + \\ 0 \\ + \end{array} & \begin{array}{c} - \\ 0 \\ - \end{array} \\
 \begin{array}{c} + \\ 1 \\ - \end{array} & \begin{array}{c} - \\ 1 \\ + \end{array}
 \end{array}
 \right\}
 \begin{array}{l}
 a = q - 1 \\
 b = q - 1 \\
 c = q - 1
 \end{array}$$

Définition (Fonction de partition)

On peut l'utiliser pour compter des matrices de signe alterné ($q^3 = 1$) :

$$\mathcal{Z}_n(\mathbf{1}, \mathbf{q}) = \#\{\text{ASM de taille } n \times n\} = 1, 2, 7, 42, 429, \dots$$

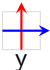
La matrice \check{R}

On construit des configurations avec des petites plaquettes :

$$x \begin{array}{c} \uparrow \\ \square \\ \leftarrow \text{y} \end{array} = \begin{pmatrix} a & 0 & 0 & 0 \\ 0 & c & b & 0 \\ 0 & b & c & 0 \\ 0 & 0 & 0 & a \end{pmatrix} =: \check{R}(x, y)$$

La matrice \check{R}

On construit des configurations avec des petites plaquettes :

$$x \begin{array}{|c|} \hline \square \\ \hline \end{array} \begin{array}{|c|} \hline \square \\ \hline \end{array} = \begin{pmatrix} a & 0 & 0 & 0 \\ 0 & c & b & 0 \\ 0 & b & c & 0 \\ 0 & 0 & 0 & a \end{pmatrix} =: \check{R}(x, y)$$


Donc

$$\check{R}(x, y) : V_1 \otimes V_2 \rightarrow V_2 \otimes V_1$$

où V_i est la représentation irréductible 2-dimensionnelle de $U_q(\mathfrak{sl}_2)$.

La matrice \check{R}

On construit des configurations avec des petites plaquettes :

$$x \begin{array}{|c|} \hline \begin{array}{c} \uparrow \\ \square \\ \downarrow \\ \hline \end{array} \\ \hline \begin{array}{c} \leftarrow \\ \square \\ \rightarrow \\ \hline \end{array} \\ \hline y \end{array} = \begin{pmatrix} a & 0 & 0 & 0 \\ 0 & c & b & 0 \\ 0 & b & c & 0 \\ 0 & 0 & 0 & a \end{pmatrix} =: \check{R}(x, y)$$

Donc

$$\check{R}(x, y) : V_1 \otimes V_2 \rightarrow V_2 \otimes V_1$$

où V_i est la représentation irréductible 2-dimensionnelle de $U_q(\mathfrak{sl}_2)$.

Exemple

$$\check{R}(x, y) v_+ \otimes v_- = c(x, y) v_+ \otimes v_- + b(x, y) v_- \otimes v_+$$

L'équation d'Yang–Baxter

L'identité :

$$\check{R}(x, y)\check{R}(y, x) = (qx - q^{-1}y)(qy - q^{-1}x)Id.$$

L'équation d'Yang–Baxter :

$$\check{R}_{2,3}(y_2, y_3)\check{R}_{1,3}(y_1, y_3)\check{R}_{1,2}(y_1, y_2) = \check{R}_{1,2}(y_1, y_2)\check{R}_{1,3}(y_1, y_3)\check{R}_{2,3}(y_2, y_3)$$

L'équation d'Yang–Baxter

L'identité :

$$\begin{array}{c} \diagup \\ \diagdown \end{array} = (qx - q^{-1}y)(qy - q^{-1}x) \begin{array}{c} \rightarrow \\ \rightarrow \end{array}$$

The diagram shows a crossing of two lines: a blue line from top-left to bottom-right and a red line from top-right to bottom-left. This is equated to the product of two terms: $(qx - q^{-1}y)(qy - q^{-1}x)$ and a pair of parallel horizontal arrows, the top one red and the bottom one blue.

L'équation d'Yang–Baxter :

$$\begin{array}{c} \diagup \\ \diagdown \end{array} = \begin{array}{c} \diagdown \\ \diagup \end{array}$$

The diagram shows two configurations of three lines (red, green, blue) meeting at a point. On the left, the red line is on top, green on the bottom, and blue on the right. On the right, the green line is on top, red on the bottom, and blue on the right. The two configurations are equated.

L'équation d'Yang–Baxter

L'identité :

$$\text{Diagram} = (qx - q^{-1}y)(qy - q^{-1}x) \text{Diagram}$$

L'équation d'Yang–Baxter :

$$\text{Diagram} = \text{Diagram}$$

Exemple

$$\text{Diagram} = \text{Diagram}$$

L'équation d'Yang–Baxter

L'identité :

$$\text{Diagram} = (qx - q^{-1}y)(qy - q^{-1}x) \begin{matrix} \text{Red arrow} \\ \text{Blue arrow} \end{matrix}$$

L'équation d'Yang–Baxter :

$$\text{Diagram 1} = \text{Diagram 2}$$

Exemple

$$\begin{matrix} + \\ + \end{matrix} \text{Diagram} = \begin{matrix} + \\ + \end{matrix} \text{Diagram}$$

L'équation d'Yang–Baxter

L'identité :

$$\text{Diagram} = (qx - q^{-1}y)(qy - q^{-1}x) \begin{matrix} \text{Red arrow} \\ \text{Blue arrow} \end{matrix}$$

L'équation d'Yang–Baxter :

$$\text{Diagram 1} = \text{Diagram 2}$$

Exemple

$$\begin{matrix} & + & & & + & & \\ & \uparrow & & & \uparrow & & \\ + & \text{Red} & \text{Blue} & \text{Red} & + & & \\ & \text{Green} & \text{Blue} & \text{Green} & & & \\ + & & & & + & & \\ & - & & & - & & \end{matrix} = \begin{matrix} & + & & & + & & \\ & \uparrow & & & \uparrow & & \\ + & \text{Blue} & \text{Green} & \text{Blue} & + & & \\ & \text{Red} & \text{Green} & \text{Red} & & & \\ + & & & & + & & \\ & - & & & - & & \end{matrix}$$

L'équation d'Yang–Baxter

L'identité :

$$\text{Diagram} = (qx - q^{-1}y)(qy - q^{-1}x) \begin{matrix} \rightarrow \\ \rightarrow \\ \rightarrow \\ \rightarrow \end{matrix}$$

L'équation d'Yang–Baxter :

$$\text{Diagram 1} = \text{Diagram 2}$$

Exemple

$$\begin{matrix} & & + & & \\ & & \uparrow & & \\ + & & + & \rightarrow & + \\ & \diagdown & & & \\ + & & + & \rightarrow & - \\ & & - & & \\ & & \uparrow & & \\ & & + & & \\ & & \uparrow & & \\ + & & + & \rightarrow & + \\ & & - & & \\ & & \uparrow & & \\ & & + & & \\ & & \uparrow & & \\ + & & + & \rightarrow & - \\ & & - & & \end{matrix} = \begin{matrix} & & + & & \\ & & \uparrow & & \\ + & & + & \rightarrow & + \\ & & \uparrow & & \\ + & & + & \rightarrow & - \\ & & - & & \\ & & \uparrow & & \\ & & + & & \\ & & \uparrow & & \\ + & & + & \rightarrow & + \\ & & - & & \\ & & \uparrow & & \\ & & + & & \\ & & \uparrow & & \\ + & & + & \rightarrow & - \\ & & - & & \end{matrix}$$

L'équation d'Yang–Baxter

L'identité :

$$\text{Diagram} = (qx - q^{-1}y)(qy - q^{-1}x) \begin{matrix} \rightarrow \\ \rightarrow \\ \rightarrow \\ \rightarrow \end{matrix}$$

L'équation d'Yang–Baxter :

$$\text{Diagram} = \text{Diagram}$$

Exemple

$$\begin{matrix} & & + & & \\ & & \uparrow & & \\ + & & + & \rightarrow & + \\ & & + & & \\ + & \diagdown & + & \rightarrow & - \\ & \diagup & + & \rightarrow & \\ & & - & & \end{matrix} = \begin{matrix} & & + & & \\ & & \uparrow & & \\ + & & + & \rightarrow & + \\ & & + & & \\ + & & + & \rightarrow & - \\ & & - & & \end{matrix}$$

L'équation d'Yang–Baxter

L'identité :

$$\text{Diagram} = (qx - q^{-1}y)(qy - q^{-1}x) \begin{matrix} \text{Red arrow} \\ \text{Blue arrow} \end{matrix}$$

L'équation d'Yang–Baxter :

$$\text{Diagram 1} = \text{Diagram 2}$$

Exemple

$$\begin{matrix} & & + & & \\ & & \uparrow & & \\ + & & + & \text{Red arrow} & + \\ & & + & & \\ + & \text{Green arrow} & + & \text{Blue arrow} & - \\ & & - & & \end{matrix} = \begin{matrix} & & + & & \\ & & \uparrow & & \\ + & \text{Blue arrow} & + & & + \\ & & + & \text{Green arrow} & \\ + & \text{Red arrow} & - & \text{Red arrow} & - \\ & & - & & \end{matrix}$$

L'équation d'Yang–Baxter

L'identité :

$$\text{Diagram} = (qx - q^{-1}y)(qy - q^{-1}x) \begin{matrix} \rightarrow \\ \rightarrow \\ \rightarrow \\ \rightarrow \end{matrix}$$

L'équation d'Yang–Baxter :

$$\text{Diagram 1} = \text{Diagram 2}$$

Exemple

$$\begin{matrix} & & + & & \\ & & \uparrow & & \\ + & & + & \rightarrow & + \\ & & + & & \\ + & & + & \rightarrow & - \\ & & - & & \end{matrix} = \begin{matrix} & & + & & \\ & & \uparrow & & \\ + & & + & & + \\ & & + & & \\ + & & - & & - \\ & & - & & \end{matrix} + \begin{matrix} & & + & & \\ & & \uparrow & & \\ + & & - & & + \\ & & - & & \\ + & & + & & - \\ & & - & & \end{matrix}$$

L'équation d'Yang–Baxter

L'identité :

$$\text{Diagram} = (qx - q^{-1}y)(qy - q^{-1}x) \begin{matrix} \text{Red arrow} \\ \text{Blue arrow} \end{matrix}$$

L'équation d'Yang–Baxter :

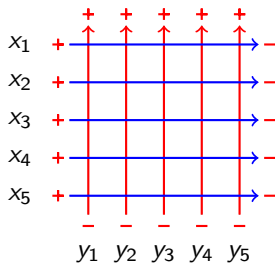
$$\text{Diagram 1} = \text{Diagram 2}$$

Exemple

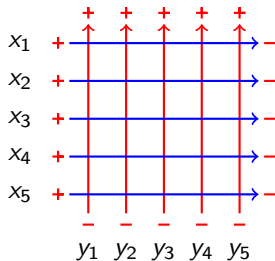
$$\begin{matrix} + & & + \\ + & \text{Diagram} & + \\ + & & - \\ - & & - \end{matrix} = \begin{matrix} + & & + \\ + & \text{Diagram} & + \\ + & & - \\ - & & - \end{matrix} + \begin{matrix} + & & + \\ + & \text{Diagram} & + \\ - & & - \\ + & & - \\ - & & - \end{matrix}$$

$$a(x, y)a(y, z)c(x, z) = c(y, z)a(x, z)c(x, y) + b(y, z)c(x, z)b(x, y)$$

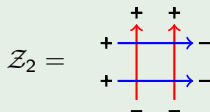
La fonction de partition



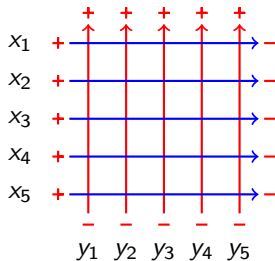
La fonction de partition



Exemple ($n = 2$)



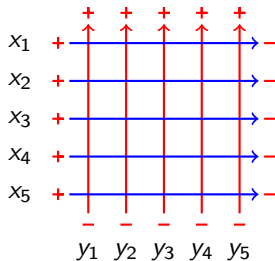
La fonction de partition



Exemple ($n = 2$)

$$Z_2 = \begin{array}{cc} + & + \\ + \uparrow + \uparrow & - \\ + & - \\ + \uparrow - \uparrow & - \\ - & - \end{array} + \begin{array}{cc} + & + \\ + \uparrow - \uparrow & - \\ - & + \\ + \uparrow + \uparrow & - \\ - & - \end{array}$$

La fonction de partition



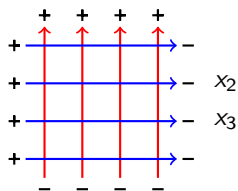
Exemple ($n = 2$)

$$\mathcal{Z}_2 = \begin{array}{cc} \begin{array}{c} + \\ \uparrow \\ + \end{array} \begin{array}{c} + \\ \uparrow \\ - \end{array} & \begin{array}{c} + \\ \uparrow \\ - \end{array} \begin{array}{c} + \\ \uparrow \\ + \end{array} \\ + \begin{array}{c} \rightarrow \\ - \end{array} & + \begin{array}{c} \rightarrow \\ - \end{array} \\ + \begin{array}{c} \rightarrow \\ - \end{array} & + \begin{array}{c} \rightarrow \\ - \end{array} \\ - & - \end{array} + \begin{array}{cc} \begin{array}{c} + \\ \uparrow \\ - \end{array} \begin{array}{c} + \\ \uparrow \\ + \end{array} & \begin{array}{c} + \\ \uparrow \\ - \end{array} \begin{array}{c} + \\ \uparrow \\ - \end{array} \\ + \begin{array}{c} \rightarrow \\ - \end{array} & + \begin{array}{c} \rightarrow \\ - \end{array} \\ + \begin{array}{c} \rightarrow \\ - \end{array} & + \begin{array}{c} \rightarrow \\ - \end{array} \\ - & - \end{array}$$

$$c(x_2, y_1)a(x_2, y_2)a(x_1, y_1)c(x_1, y_2) + b(x_2, y_1)c(x_2, y_2)c(x_1, y_1)b(x_1, y_2)$$

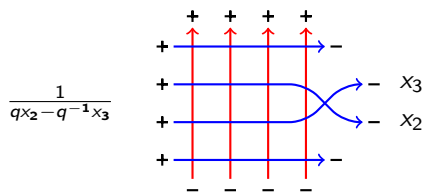
Propriétés de la fonction de partition

Symétrique en x et y . Preuve l'équation d'Yang–Baxter :



Propriétés de la fonction de partition

Symétrique en x et y . Preuve l'équation d'Yang–Baxter :



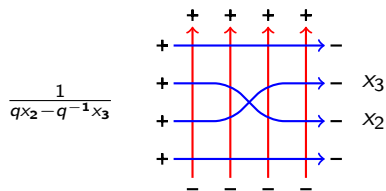
Propriétés de la fonction de partition

Symétrique en x et y . Preuve l'équation d'Yang–Baxter :

$$\frac{1}{qx_2 - q^{-1}x_3}$$

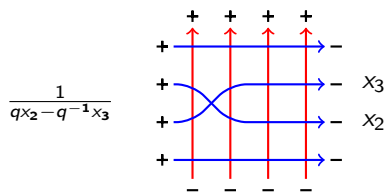
Propriétés de la fonction de partition

Symétrique en x et y . Preuve l'équation d'Yang–Baxter :



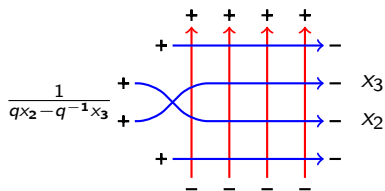
Propriétés de la fonction de partition

Symétrique en x et y . Preuve l'équation d'Yang–Baxter :



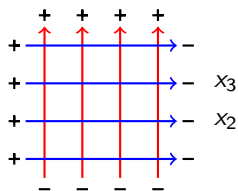
Propriétés de la fonction de partition

Symétrique en x et y . Preuve l'équation d'Yang–Baxter :



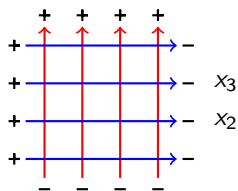
Propriétés de la fonction de partition

Symétrique en x et y . Preuve l'équation d'Yang–Baxter :

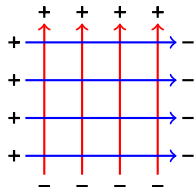


Propriétés de la fonction de partition

Symétrique en x et y . Preuve l'équation d'Yang–Baxter :

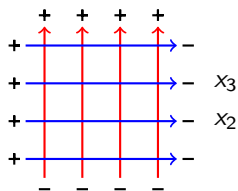


La relation de récurrence de Korepin. Si $y_1 = q^2 x_1$, $a(x_1, y_1) = 0$, alors :

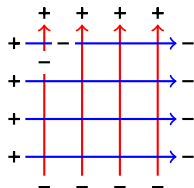


Propriétés de la fonction de partition

Symétrique en x et y . Preuve l'équation d'Yang–Baxter :

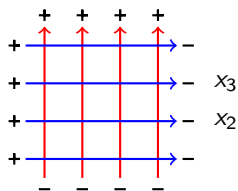


La relation de récurrence de Korepin. Si $y_1 = q^2 x_1$, $a(x_1, y_1) = 0$, alors :

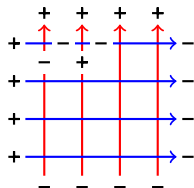


Propriétés de la fonction de partition

Symétrique en x et y . Preuve l'équation d'Yang–Baxter :

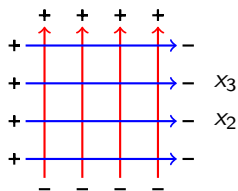


La relation de récurrence de Korepin. Si $y_1 = q^2 x_1$, $a(x_1, y_1) = 0$, alors :

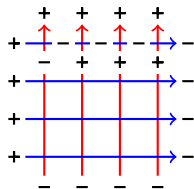


Propriétés de la fonction de partition

Symétrique en x et y . Preuve l'équation d'Yang–Baxter :

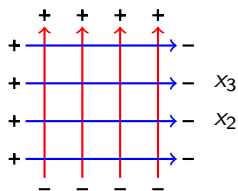


La relation de récurrence de Korepin. Si $y_1 = q^2 x_1$, $a(x_1, y_1) = 0$, alors :

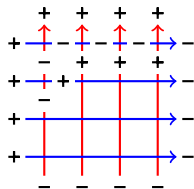


Propriétés de la fonction de partition

Symétrique en x et y . Preuve l'équation d'Yang–Baxter :

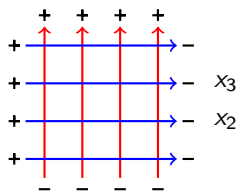


La relation de récurrence de Korepin. Si $y_1 = q^2 x_1$, $a(x_1, y_1) = 0$, alors :

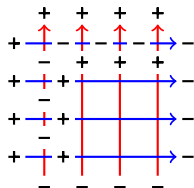


Propriétés de la fonction de partition

Symétrique en x et y . Preuve l'équation d'Yang–Baxter :

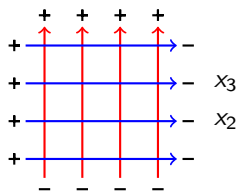


La relation de récurrence de Korepin. Si $y_1 = q^2 x_1$, $a(x_1, y_1) = 0$, alors :

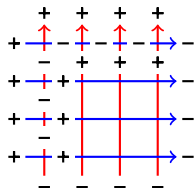


Propriétés de la fonction de partition

Symétrique en x et y . Preuve l'équation d'Yang–Baxter :



La relation de récurrence de Korepin. Si $y_1 = q^2 x_1$, $a(x_1, y_1) = 0$, alors :



$$\mathcal{Z}_n|_{y_1=q^2 x_1} \propto \prod_{i \neq 1} (y_i - x_1)(x_i - y_1) \sqrt{x_1 y_1} \mathcal{Z}_{n-1}$$

Propriétés de la fonction de partition

Un poids $c(x_i, y_j)$ apparaît un nombre impair de fois en chaque colonne et ligne. On peut donc normaliser

$$\frac{\mathcal{Z}_n(\mathbf{x}, \mathbf{y})}{\prod_i \sqrt{x_i y_i}} \rightarrow \mathcal{Z}_n(\mathbf{x}, \mathbf{y})$$

Propriétés de la fonction de partition

Un poids $c(x_i, y_j)$ apparaît un nombre impair de fois en chaque colonne et ligne. On peut donc normaliser

$$\frac{\mathcal{Z}_n(\mathbf{x}, \mathbf{y})}{\prod_i \sqrt{x_i y_i}} \rightarrow \mathcal{Z}_n(\mathbf{x}, \mathbf{y})$$

Propriétés

- Satisfait la relation de récurrence de Korepin ;
- Un polynôme homogène ;
- Un degré total de $n(n - 1)$;
- Un degré partiel à chaque variable de $n - 1$;
- Symétrique en \mathbf{x} et \mathbf{y} .

Formule explicite de la fonction de partition

En utilisant la relation de récurrence de Korepin, Izergin a montré que :

$$\mathcal{Z}_n(\mathbf{x}, \mathbf{y}) = (\text{pré-facteur}) \det \left| \frac{1}{(x_i - qy_j)(qx_i - y_j)} \right|_{i,j}$$

Formule explicite de la fonction de partition

En utilisant la relation de récurrence de Korepin, Izergin a montré que :

$$\mathcal{Z}_n(\mathbf{x}, \mathbf{y}) = (\text{pré-facteur}) \det \left| \frac{1}{(x_i - qy_j)(qx_i - y_j)} \right|_{i,j}$$

Propriétés

- Satisfait la relation de récurrence de Korepin ;
- Un polynôme homogène ;
- Un degré total de $n(n - 1)$;
- Un degré partiel à chaque variable de $n - 1$;
- Symétrique en \mathbf{x} et \mathbf{y} .

Un polynôme de Schur

On met $q = e^{\frac{2i\pi}{3}}$, connu par point combinatoire.

$$Y_n = \{n-1, n-1, n-2, n-2, \dots, 1, 1, 0, 0\}$$

Généralisation à plus haut spin

On peut construire une matrice \check{R} analogue à plus haut spin :

$$\check{R}^{(\ell)}(x, y) : V_1^{(\ell)} \otimes V_2^{(\ell)} \rightarrow V_2^{(\ell)} \otimes V_1^{(\ell)}$$

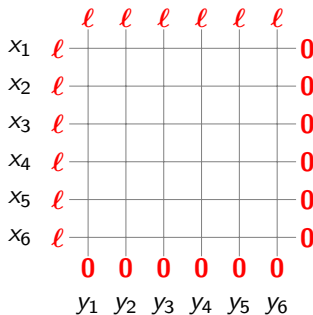
où $V^{(\ell)}$ est la représentation irréductible $(\ell + 1)$ -dimensionnelle.

Généralisation à plus haut spin

On peut construire une matrice \check{R} analogue à plus haut spin :

$$\check{R}^{(\ell)}(x, y) : V_1^{(\ell)} \otimes V_2^{(\ell)} \rightarrow V_2^{(\ell)} \otimes V_1^{(\ell)}$$

où $V^{(\ell)}$ est la représentation irréductible $(\ell + 1)$ -dimensionnelle.

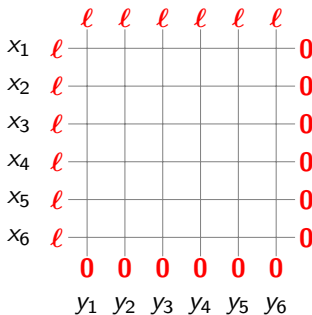


Généralisation à plus haut spin

On peut construire une matrice \check{R} analogue à plus haut spin :

$$\check{R}^{(\ell)}(x, y) : V_1^{(\ell)} \otimes V_2^{(\ell)} \rightarrow V_2^{(\ell)} \otimes V_1^{(\ell)}$$

où $V^{(\ell)}$ est la représentation irréductible $(\ell + 1)$ -dimensionnelle.



A diagram showing a central point with four lines extending outwards. The top line is labeled with a red η symbol, the bottom with a red β symbol, the left with a red α symbol, and the right with a red γ symbol.

$$\alpha + \beta = \gamma + \eta$$

Fusion

On peut obtenir $V^{(\ell)}$ en décomposant le produit tensoriel $V^{(1)} \otimes \dots \otimes V^{(1)}$.

Fusion

On peut obtenir $V^{(\ell)}$ en décomposant le produit tensoriel $V^{(1)} \otimes \dots \otimes V^{(1)}$.

Exemple ($\ell = 3$)

$$v_3^{(3)} = v_+ \otimes v_+ \otimes v_+$$

$$v_2^{(3)} = v_- \otimes v_+ \otimes v_+ + v_+ \otimes v_- \otimes v_+ + v_+ \otimes v_+ \otimes v_-$$

Fusion

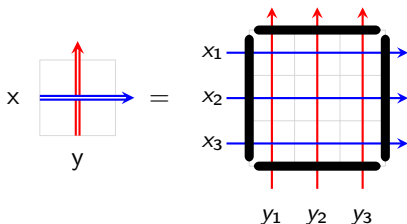
On peut obtenir $V^{(\ell)}$ en décomposant le produit tensoriel $V^{(1)} \otimes \dots \otimes V^{(1)}$.

Exemple ($\ell = 3$)

$$v_3^{(3)} = v_+ \otimes v_+ \otimes v_+$$

$$v_2^{(3)} = v_- \otimes v_+ \otimes v_+ + v_+ \otimes v_- \otimes v_+ + v_+ \otimes v_+ \otimes v_-$$

On définit la nouvelle matrice $\check{R}^{(\ell)}$ par :



Fusion

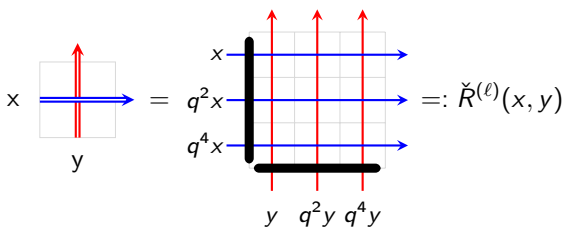
On peut obtenir $V^{(\ell)}$ en décomposant le produit tensoriel $V^{(1)} \otimes \dots \otimes V^{(1)}$.

Exemple ($\ell = 3$)

$$v_3^{(3)} = v_+ \otimes v_+ \otimes v_+$$

$$v_2^{(3)} = v_- \otimes v_+ \otimes v_+ + v_+ \otimes v_- \otimes v_+ + v_+ \otimes v_+ \otimes v_-$$

On définit la nouvelle matrice $\check{R}^{(\ell)}$ par :

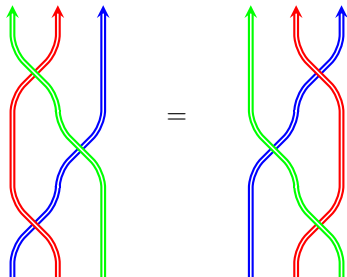


L'équation d'Yang–Baxter

L'identité :



L'équation d'Yang–Baxter :

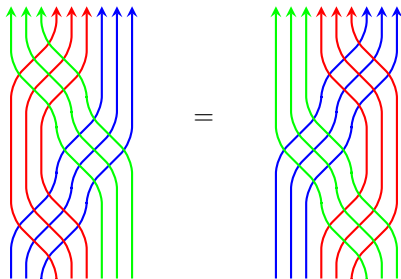


L'équation d'Yang–Baxter

L'identité :

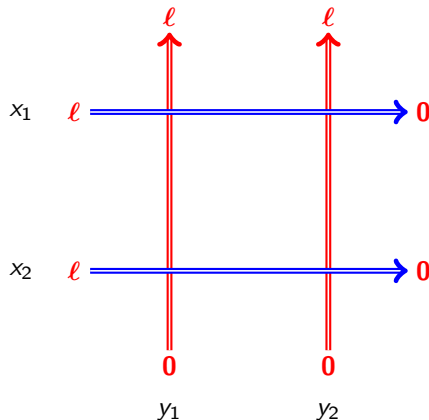


L'équation d'Yang–Baxter :



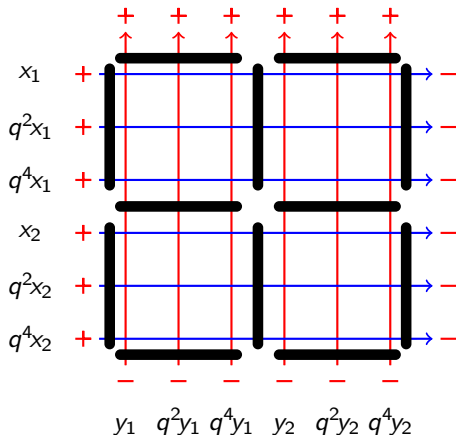
La fonction de partition

On construit la fonction de partition de la même façon :



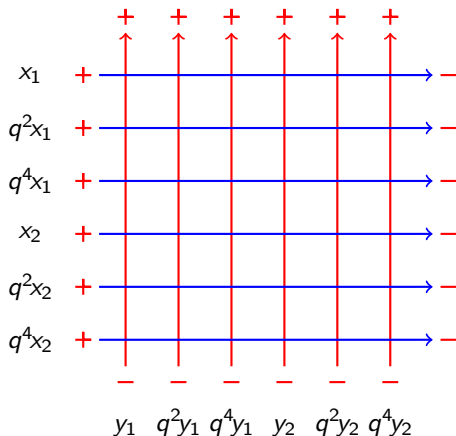
La fonction de partition

On construit la fonction de partition de la même façon :



La fonction de partition

On construit la fonction de partition de la même façon :



Une formule explicite de la fonction de partition

Soit

$$\bar{\mathbf{x}} = \{x_1, q^2 x_1, \dots, q^{2\ell-2} x_1, \dots, x_n, q^2 x_n, \dots, q^{2\ell-2} x_n\}$$

$$\bar{\mathbf{y}} = \{y_1, q^2 y_1, \dots, q^{2\ell-2} y_1, \dots, y_n, q^2 y_n, \dots, q^{2\ell-2} y_n\}$$

Caradoc, Foda et Kitanine ont montré que :

$$\mathcal{Z}_{n,\ell}(\mathbf{x}, \mathbf{y}) = (\text{pré-facteur}) \det \left| \frac{1}{(\bar{x}_i - q\bar{y}_j)(q\bar{x}_i - \bar{y}_j)} \right|_{i,j}^{\ell n \times \ell n}$$

Une formule explicite de la fonction de partition

Soit

$$\bar{x} = \{x_1, q^2 x_1, \dots, q^{2\ell-2} x_1, \dots, x_n, q^2 x_n, \dots, q^{2\ell-2} x_n\}$$

$$\bar{y} = \{y_1, q^2 y_1, \dots, q^{2\ell-2} y_1, \dots, y_n, q^2 y_n, \dots, q^{2\ell-2} y_n\}$$

Caradoc, Foda et Kitanine ont montré que :

$$\mathcal{Z}_{n,\ell}(\mathbf{x}, \mathbf{y}) = (\text{pré-facteur}) \det \left| \frac{1}{(\bar{x}_i - q\bar{y}_j)(q\bar{x}_i - \bar{y}_j)} \right|_{i,j}^{\ell n \times \ell n}$$

Propriétés

- Satisfait une relation de récurrence plus faible ;
- Un polynôme homogène ;
- Un degré total de $\ell n(n-1)$;
- Un degré partiel à chaque variable de $\ell(n-1)$;
- Symétrique en \mathbf{x} et \mathbf{y} .

La condition de roue

Quand $q^{2\ell+1} = 1$, la fonction de partition satisfait la condition de roue :

Définition (Condition de roue)

Un polynôme $P(\mathbf{z})$ satisfait la condition de roue si :

$$P(\mathbf{z}) = 0 \quad \text{si } z_k = q^{1+2s_2} z_j = q^{2+2s_1+2s_2} z_i$$

pour tout $s_1, s_2 \in \mathbb{N}_0$ tel que $s_1 + s_2 \leq \ell - 1$ et pour tout choix $i < j < k$.

La condition de roue

Quand $q^{2\ell+1} = 1$, la fonction de partition satisfait la condition de roue :

Définition (Condition de roue)

Un polynôme $P(\mathbf{z})$ satisfait la condition de roue si :

$$P(\mathbf{z}) = 0 \quad \text{si } z_k = q^{1+2s_2} z_j = q^{2+2s_1+2s_2} z_i$$

pour tout $s_1, s_2 \in \mathbb{N}_0$ tel que $s_1 + s_2 \leq \ell - 1$ et pour tout choix $i < j < k$.

On appelle $q^{2\ell+1} = 1$, le point combinatoire.

Condition de roue - un exemple

Exemple ($\ell = 2$)

Impose $q^5 = 1$. Alors le polynôme s'annule si :

$$z_k = qz_j = q^2 z_i \quad z_k = q^3 z_j = q^4 z_i \quad z_k = qz_j = q^4 z_i$$

Condition de roue - un exemple

Exemple ($\ell = 2$)

Impose $q^5 = 1$. Alors le polynôme s'annule si :

$$z_k = qz_j = q^2 z_i \quad z_k = q^3 z_j = q^4 z_i \quad z_k = qz_j = q^4 z_i$$

Le polynôme suivant satisfait donc la condition de roue :

$$P(z_1, \dots, z_{2n}) = \prod_{1 \leq i < j \leq n} (qz_i - z_j)(q^3 z_i - z_j) \prod_{n < i < j \leq 2n} (qz_i - z_j)(q^3 z_i - z_j)$$

Polynômes symétriques - des bases différentes

Soit $\lambda = \{\lambda_1, \dots, \lambda_N\}$, tel que $\lambda_i \geq \lambda_{i+1}$.

Définition (Monômes)

$$m_\lambda = \mathcal{S} \left(z_1^{\lambda_1} z_2^{\lambda_2} \dots z_N^{\lambda_N} \right)$$

Polynômes symétriques - des bases différentes

Soit $\lambda = \{\lambda_1, \dots, \lambda_N\}$, tel que $\lambda_i \geq \lambda_{i+1}$.

Définition (Monômes)

$$m_\lambda = \mathcal{S} \left(z_1^{\lambda_1} z_2^{\lambda_2} \dots z_N^{\lambda_N} \right)$$

Exemple :

$$m_{\{1,1,0\}} = z_1 z_2 + z_1 z_3 + z_2 z_3$$

Polynômes symétriques - des bases différentes

Soit $\lambda = \{\lambda_1, \dots, \lambda_N\}$, tel que $\lambda_i \geq \lambda_{i+1}$.

Définition (Monômes)

$$m_\lambda = \mathcal{S} \left(z_1^{\lambda_1} z_2^{\lambda_2} \dots z_N^{\lambda_N} \right)$$

Exemple :

$$m_{\{1,1,0\}} = z_1 z_2 + z_1 z_3 + z_2 z_3$$

Définition (Somme de puissances)

$$p_k = \sum_i z_i^k$$

$$p_\lambda = p_{\lambda_1} p_{\lambda_2} \dots p_{\lambda_N}$$

Polynômes symétriques - des bases différentes

Soit $\lambda = \{\lambda_1, \dots, \lambda_N\}$, tel que $\lambda_i \geq \lambda_{i+1}$.

Définition (Monômes)

$$m_\lambda = \mathcal{S} \left(z_1^{\lambda_1} z_2^{\lambda_2} \dots z_N^{\lambda_N} \right)$$

Exemple :

$$m_{\{1,1,0\}} = z_1 z_2 + z_1 z_3 + z_2 z_3$$

Définition (Somme de puissances)

$$p_k = \sum_i z_i^k \qquad p_\lambda = p_{\lambda_1} p_{\lambda_2} \dots p_{\lambda_N}$$

Exemple :

$$p_{\{1,1,0\}} = (z_1 + z_2 + z_3)^2 = z_1^2 + z_2^2 + z_3^2 + 2(z_1 z_2 + z_1 z_3 + z_2 z_3)$$

Polynômes de Macdonald

On définit un produit scalaire par :

$$\langle p_\lambda(\mathbf{z}), p_\mu(\mathbf{z}) \rangle_{\tilde{q}, t} = z_\mu \delta_{\lambda\mu} \prod_i \frac{1 - \tilde{q}^{\mu_i}}{1 - t^{\mu_i}}$$

Polynômes de Macdonald

On définit un produit scalaire par :

$$\langle p_\lambda(\mathbf{z}), p_\mu(\mathbf{z}) \rangle_{\tilde{q}, t} = z_\mu \delta_{\lambda\mu} \prod_i \frac{1 - \tilde{q}^{\mu_i}}{1 - t^{\mu_i}}$$

Définition (Polynômes de Macdonald)

Les polynômes de Macdonald sont définis à travers de la procédure de Gram–Schmidt :

$$0 = \langle P_\lambda(\mathbf{z}; \tilde{q}, t), P_\mu(\mathbf{z}; \tilde{q}, t) \rangle_{\tilde{q}, t} \quad \text{si } \lambda \neq \mu$$

$$P_\lambda(\mathbf{z}; \tilde{q}, t) = m_\lambda(\mathbf{z}) + \sum_{\mu \prec \lambda} c_{\lambda, \mu}(\tilde{q}, t) m_\mu(\mathbf{z})$$

Ils dépendent de deux paramètres \tilde{q} et t .

Polynômes de Macdonald

On définit un produit scalaire par :

$$\langle p_\lambda(\mathbf{z}), p_\mu(\mathbf{z}) \rangle_{\tilde{q}, t} = z_\mu \delta_{\lambda\mu} \prod_i \frac{1 - \tilde{q}^{\mu_i}}{1 - t^{\mu_i}}$$

Définition (Polynômes de Macdonald)

Les polynômes de Macdonald sont définis à travers de la procédure de Gram–Schmidt :

$$0 = \langle P_\lambda(\mathbf{z}; \tilde{q}, t), P_\mu(\mathbf{z}; \tilde{q}, t) \rangle_{\tilde{q}, t} \quad \text{si } \lambda \neq \mu$$

$$P_\lambda(\mathbf{z}; \tilde{q}, t) = m_\lambda(\mathbf{z}) + \sum_{\mu \prec \lambda} c_{\lambda, \mu}(\tilde{q}, t) m_\mu(\mathbf{z})$$

Ils dépendent de deux paramètres \tilde{q} et t .

Théorème (Jimbo, Miwa, Feigin et Mukhin)

Les polynômes symétriques obéissant à la condition de roue sont générés par des polynômes de Macdonald P_λ (avec $\tilde{q} = q^2$ et $t = q$), tel que :

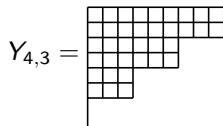
La fonction de partition comme un polynôme de Macdonald

Soit $\ell n(n-1)$ le nombre de boîtes, alors il y a un choix.

$$Y_{n,\ell} = \{\ell(n-1), \ell(n-1), \ell(n-2), \ell(n-2), \dots, \ell, \ell, 0, 0\}$$

La fonction de partition comme un polynôme de Macdonald

Soit $\ell n(n-1)$ le nombre de boîtes, alors il y qu'un choix.



Questions ouvertes

- Le modèle 6-Vertex est en bijection avec les matrices de signe alterné.
 - Peut cette généralisation nous mener à des résultats combinatoires intéressants ?
 - Qu'est qu'on sait sur la limite homogène ?
- Condition de roue et déterminants.
 - Peut-on obtenir des conditions de roue différentes avec des modèles similaires ?
 - Et la même condition de roue mais de degré plus élevés ?
- Peut-on prouver directement que la fonction de partition est complètement symétrique ?

Questions ouvertes

- Le modèle 6-Vertex est en bijection avec les matrices de signe alterné.
 - Peut cette généralisation nous mener à des résultats combinatoires intéressants ?
 - Qu'est qu'on sait sur la limite homogène ?
- Condition de roue et déterminants.
 - Peut-on obtenir des conditions de roue différentes avec des modèles similaires ?
 - Et la même condition de roue mais de degré plus élevés ?
- Peut-on prouver directement que la fonction de partition est complètement symétrique ?

Questions ouvertes

- Le modèle 6-Vertex est en bijection avec les matrices de signe alterné.
 - Peut cette généralisation nous mener à des résultats combinatoires intéressants ?
 - Qu'est qu'on sait sur la limite homogène ?
- Condition de roue et déterminants.
 - Peut-on obtenir des conditions de roue différentes avec des modèles similaires ?
 - Et la même condition de roue mais de degré plus élevés ?
- Peut-on prouver directement que la fonction de partition est complètement symétrique ?